

저압 증기 터빈블레이드 강의 $P-S-N$ 선도 평가

김철수* · 정화영** · 김정규†

A Evaluation of $P-S-N$ Curve of Low Pressure Steam Turbine Blade Steel

Chul-Su KIM, Hwa-Young JUNG and Jung-Kyu KIM

Key Words: Correlation Coefficient(상관계수), Coefficient of Skewness (비대칭성 계수), Error-Parameter(오차모수), Log-Normal Distribution(대수정규분포), 2-Parameter Weibull Distribution(2모수 와이블분포), 3-Parameter Weibull Distribution(3모수 와이블분포), Optimization Technique(최적화 기법)

Abstract

In order to evaluate variation of fatigue data of the LP steam turbine blade steel, it is important to estimate $P-S-N$ curves to accurately define the probability distributions. In this study, new procedure is introduced to determine the expression of $P-S-N$ curves. For this purpose, 3-parameter Weibull distribution was found to be most appropriate among assumed distributions when the probability distributions of the fatigue life were examined by the proposed analysis. Furthermore, parameter estimation for $P-S-N$ curves was performed using various optimization to maximize the correlation coefficient. As a result of this, sequential linear programming method is used for estimation of $P-S-N$ curves.

1. 서론

기계·구조물의 피로강도 및 수명평가의 방법으로는 결정론적인 모델과 확률론적인 모델이 있다. 부품의 피로강도 및 수명은 재료의 불균질성 및 손손상의 변동성 등으로 인하여 결정론적인 모델보다는 확률론적 특성을 고려한 $P-S-N$ 선도(probabilistic $S-N$ curve)의 평가가 중요하다. 그러나 확률론적 해석을 위한 피로시험은 다수의 피로 수명 자료를 요구하므로 많은 시간과 경제적 비용이 수반되어야 한다. 그러므로 효율적인 해석을 위하여 수개의 적은 피로수명 자료로부터 물리적 현상

을 위배하지 않고 보수적인 설계에 적합한 확률론적 모델^(1,2)을 얻는 것이 매우 필요하다.

이에 관한 기존의 연구들은 대부분 피로수명자료가 대수정규분포(log-normal distribution)에 따른다는 가정 하에 수행되었다. 예를 들어 Little,⁽³⁾ 과 Nishijima⁽⁴⁾는 20개 미만의 적은 피로 데이터로부터 정량적으로 $S-N$ 선도의 추정 방법을 제시하였다. Nakazawa 등⁽⁵⁾은 14개 시험편을 이용한 통계적인 피로시험방법을 소개하고, 이로부터 $P-S-N$ 선도를 평가하였다. 또한 Ling 등⁽⁶⁾은 적은 피로 데이터로부터 3모수 $S-N$ 선도를 구하고, 최우량 추정법(maximum likelihood method)에 의하여 $P-S-N$ 선도를 평가하였다. 그러나 이상의 연구들은 수개의 피로수명 자료를 이용하여 단순히 대수정규분포에 따른다고 가정함으로써 적합한 확률분포의 선택^(1,2)에 따른 합리적인 $P-S-N$ 선도

* 회원, 한양대학교 대학원

** 비회원, 한양대학교 대학원

† 책임저자, 회원, 한양대학교 기계공학부

E-mail: kimj@hanyang.ac.kr

Tel: (02) 2290-0563, FAX: (02) 2291-6707

Table 1 Chemical composition (wt %)

Material	C	Si	Mn	P	S	Cr	Mo	Ni	V
Test mat.	0.21	0.3	0.42	0.023	0.001	11.77	0.92	0.61	0.27

Table 2 Mechanical properties

Material	Yield strength (MPa)	Tensile strength (MPa)	Elongation (%)	Hardness (HB)	Grain size (No.)
Test mat.	778	993	20.1	304	5~6

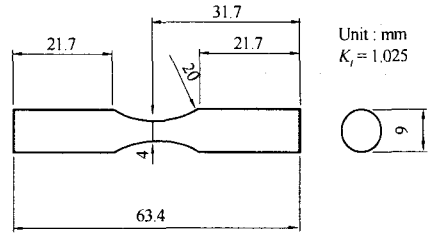


Fig. 1 Configuration of fatigue specimen

를 평가하지 못한 실정이다.

한편 기존의 $P-S-N$ 선도에서 재료상수 및 모수 추정은 단순한 그래픽 방법⁽⁷⁻⁸⁾(graphic method)이나 선형회귀법⁽¹⁰⁾, 최우량추정법^(6,11,12) 등의 해석적인 방법^(6,9-12)을 도입하여 평가되었다. 그러나 이들의 방법은 시간 및 경제적인 효율이 떨어지며, 추정된 값과 실제 값 사이의 상관도 (correlation)가 낮게 평가될 수 있다.

따라서 본 연구에서는 피로수명자료로부터 적합한 확률론적 분포를 검토하고 이로부터 최적화 기법 (optimization technique)을 사용하여 $P-S-N$ 선도를 평가하고자 한다.

2. 이론해석 및 실험방법

2.1 재료 및 시험편

본 연구에서 사용된 재료는 12Cr강으로써 실제 저압 증기터빈 블레이드 (low pressure steam turbine blade, LP turbine blade)의 마지막단에서 직접 채취한 것이다. 이의 화학성분 및 기계적 성질은 Table 1 및 2와 같다.⁽¹³⁾

Fig. 1은 피로수명을 얻기 위한 회전 굽힘 피로 시험편의 형상을 나타낸 것이다. 인장 및 피로시험편의 채취방향은 블레이드의 회전에 따른 원심력에 의한 지름방향으로 변형이 발생하고 증기압에 의한 굽힘력이 작용하므로 길이방향으로 채취하였다.⁽¹³⁾

2.2 피로시험

피로시험은 상온의 대기 중에서 최대굽힘모멘트 30 N·m, 회전수 2870 rpm인 전기모터식 회전굽힘 피로시험기를 사용하였고, 이 때 응력비 R 은 -1이다. $P-S-N$ 선도의 평가를 위한 피로시험 방법

은 유한수명영역의 4가지 응력단계에서 총 24개의 피로 시험편을 수행하였다.

2.3 최적화기법을 이용한 모수 평가

가정된 확률분포 중에서 2모수 및 3모수 와이불 분포의 특성 및 $P-S-N$ 선도의 평가를 위해서는 추정된 값과 실제 값 사이의 상관도가 높은 모수들의 추정이 필요하다.

Fig. 2는 가정된 확률분포의 최적화 기법을 이용한 모수 추정의 정식화 및 연구과정에 관한 흐름도이다. 정식화된 최적화 기법을 사용하기 위하여 사용된 코드는 D.O.T (Design Optimization Tools)⁽¹⁴⁾이다. 사용된 알고리즘은 수정된 실행가능 방향법 (modified method of feasible direction, M.M.F.D), 순차 선형 계획법 (sequential linear programming, S.L.P) 그리고 순차 이차 계획법 (sequential quadratic programming, S.Q.P)이다.⁽¹⁴⁾

3. 실험결과 및 고찰

3.1 피로수명의 확률론적 특성

Fig. 3는 $R = -1$ 에서 4가지 응력단계에서 수행된 피로시험으로부터 얻어진 $S-N$ 선도를 나타낸 것이다. 그림에서 보는 바와 같이 각 응력단계에서 피로수명자료는 변동성을 가지고 있으므로 이에 대한 확률론적 특성을 정확히 결정하는 것이 매우 중요하다.

피로수명의 확률분포에 관한 연구결과^(12,15,16)에 따르면, 피로수명분포는 특정한 확률 분포로 가정하여 이의 특성을 평가하는 것이 대부분이다. 그러나 실제로 수개의 피로수명 자료로서는 적합한 확률분포를 가정하는 것은 불충분하므로 다양한 확률분포로부터 합리적인 분포를 선택하는 것이 타당하다.^(1,2)

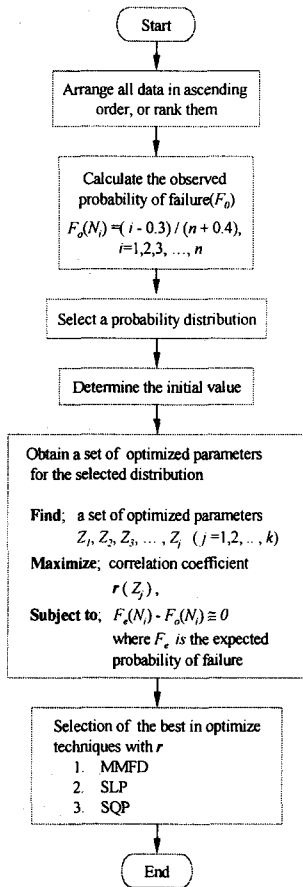


Fig. 2 The flowchart of the optimization technique for parameter estimation

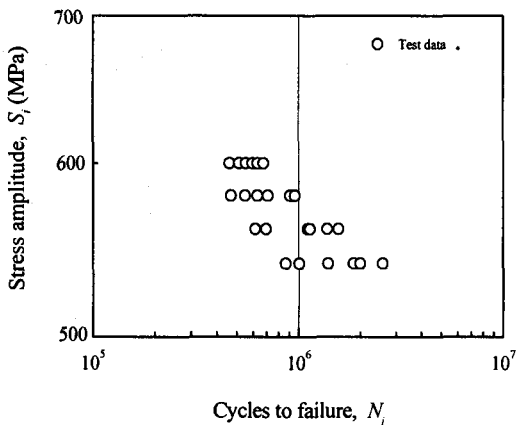


Fig. 3 Results of rotating bending fatigue test for turbine blade steel

Table 3~5은 Fig. 3의 응력과 피로수명과의 관계로부터 각각의 분포들에 대하여 전체 적합효과 (total fit effect), 피로 물리적 현상의 일치성 (consistency with fatigue physics), 분포결영역의 적합효과(tail fit effect)의 세가지 사항들을 평가하여 정리한 것이다. 첫 번째로 Table 3에서 전체 적합효과(total fit effects)를 평가하기 위하여 상관계수 (the coefficient of correlation, r) 및 임계 상관계수(critical correlation coefficient, r_c)가 평가되었다. 이들은 이전연구^(1,2)에 따르면, $r > r_c$ 조건을 만족해야하나 560MPa에서는 대수정규분포가 이를 만족하지 못하며, 그리고 전체적으로 3모수 와이불분포(3-parameter Weibull distribution)의 상관계수값 (correlation, r)이 가장 크다. 이는 가정한 분포들

Table 3 The linear correlation coefficients of three distribution and relevant critical values at given significance level $\alpha=0.001$ for fatigue life data

	3-parameter Weibull, r	2-parameter Weibull, r	Log-normal, r	Critical value, r_c
600 MPa	0.9990	0.9977	0.9946	0.9636
580 MPa	0.9934	0.9785	0.9946	0.9636
560 MPa	0.9674	0.9694	0.9626*	0.9636
540 MPa	0.9843	0.9799	0.9842	0.9636

(*: violation)

Table 4 The coefficients of skewness for fatigue life data

	3-parameter Weibull	2-parameter Weibull	Log-normal
600 MPa	0.0416	-0.5005*	0.0527
580 MPa	1.1495	-0.0627*	0.1031
560 MPa	0.9806	0.1873	0.1331
540 MPa	0.8794	0.3258	0.1528

(*:violation)

Table 5 The failure probability differences at minimum and sub-minimum lives N_1 and N_2 of the three distribution for fatigue life data

Level	3모수-Weibull		2모수-Weibull		Log-normal	
	d_{n1}	d_{n2}	d_{n1}	d_{n2}	d_{n1}	d_{n2}
600 MPa	0.0003	0.0065	-0.0088	0.0193	0.0146*	0.0032*
580 MPa	0.0003	0.0016	-0.0230	0.0354	-0.0061	0.0215
560 MPa	-0.0179	0.0709	-0.0169	0.0898	0.0051	0.0962
540 MPa	-0.0227	0.0613	-0.0264	0.0719	-0.0100	0.0697

(*:Non-conservative)

중에서 가장 좋은 적합성을 의미한다. 두 번째로 각 분포들의 피로 물리적 현상에서 일치성(the consistency with fatigue physics)을 검토하기 위하여 Table 4에서 비대칭성 상수(the coefficient of skewness)를 평가하였다. 2모수 와이블분포(2-parameter Weibull distribution)는 580MPa 및 600MPa에서 음의 값($g < 0$)을 가지며, 대수정규분포는 비대칭성이 0에 근접하므로 이는 비가역적 누적손상(irreversible cumulative damage)⁽¹⁾에 위배된다. 세 번째로 보수적인 설계를 위하여 Table 5에서 각 분포들의 끝영역(tailed part)에서 실험값과 이론적인 값 사이의 오차모수(error-parameter, d_f)⁽¹⁾의 차를 평가하였다. 대수정규분포는 600MPa에서 $d_n > d_{n2}$ 이므로 적합성이 위배된다. 이상의 검토로부터 본 재료의 피로수명에 대한 가장 적합한 확률분포는 3모수 와이블분포임을 알 수 있다. 참고로 Fig. 4는 600MPa에서 누적확률(cumulative probability)을 각각의 누적확률밀도함수로서 나타낸 것이다.

3.2 3모수 와이블분포 P-S-N선도

기존의 P-S-N선도의 연구들은 단순히 대수정규분포에 국한되어 평가되었다.^(6,12,15,16) 그러나 본 연구에 사용된 재료의 피로수명에 대한 적합한 확률분포는 3모수 와이블분포이므로 이에 따른 P-S-N선도의 평가가 필요하다.

Fig. 5는 와이블분포에 따른 P-S-N선도의 평가를 위한 연구흐름을 나타낸 것이다. 먼저 각각의 응력단계에서 피로수명의 메디안(median), N_m 으로부터 식 (2)와 같은 $P=50\%$ 에서 S-N선도를 구한다.

$$S = AN_m^B \quad (2)$$

여기서 A, B는 재료상수이다.

P-S-N선도의 추정에서 각각의 응력단계에서 서로 다른 변동성이 존재하므로 이를 함께 고려할 수 있는 확률변수가 필요하다. 이의 확률변수는 식 (3)과 같이 대수좌표계의 피로수명과 메디안 값의 차 $\Delta \log N$ 이다.

$$\Delta \log N_i = \log N_i - \log N_m \quad (i = 1, 2, \dots, n) \quad (3)$$

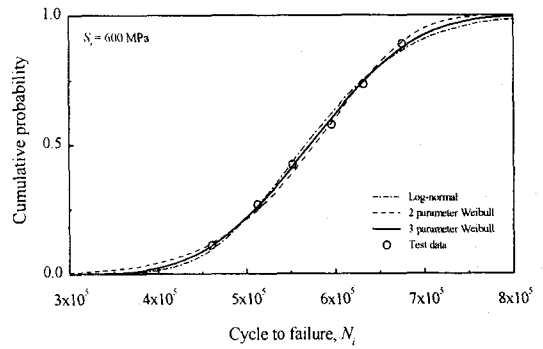


Fig. 4 Comparison of cumulative density functions at $S_i = 600\text{MPa}$

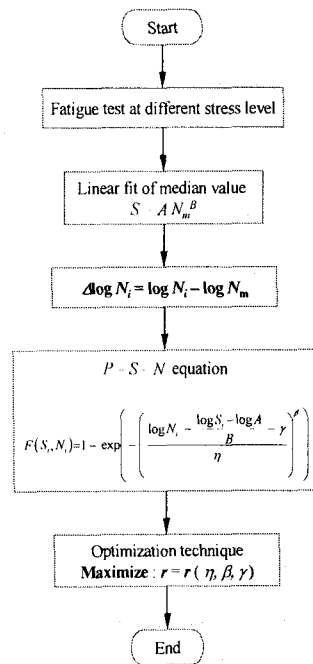


Fig. 5 The flowchart of the optimization technique for parameter estimation of 3-parameter Weibull P-S-N curves

여기서 $\log N_i$ 과 $\log N_m$ 은 각각의 응력단계에서 피로수명과 이의 메디안값이다.

식 (2)로부터 식 (3)은 식 (4)와 같이 표현된다.

$$\Delta \log N_i = \log N_i - \frac{\log S_i - \log A}{B} \quad (4)$$

피로수명은 각각의 응력단계에서 3모수 와이블

분포에 따르므로 이의 추정되는 누적밀도함수 (expected C.D.F, $F_e(\Delta \log N_i)$)는 식 (5)와 같다.

$$F_e(\Delta \log N_i) = 1 - \text{EXP} \left[- \left(\frac{\Delta \log N_i - \gamma}{\eta} \right)^\beta \right] \quad (5)$$

여기서 η , β 그리고 γ 는 각각 크기모수(scale parameter), 형상모수(shape parameter) 그리고 위치모수(location parameter)이다. 이로부터 식 (4)와 식 (5)로부터 3모수 와이블 $P-S-N$ 선도는 식 (6)과 같이 나타낼 수 있다.

$$F_e(S_i, N_i) = 1 - \text{EXP} \left[- \left(\frac{\log S_i - \log A}{B} - \gamma \right)^\beta \right] \quad (6)$$

3.3 최적화기법을 이용한 3모수 와이블분포 $P-S-N$ 선도의 평가

실험값과 상관성이 가장 높은 3모수 와이블 $P-S-N$ 선도를 추정하기 위하여 η , β 및 γ 는 Fig. 2의 절차에 따라 다양한 최적화기법을 이용하여 평가되었다. 이때의 정식화는 식 (7)과 같다.

Find; η, β, γ
 Maximize; $r(\eta, \beta, \gamma)$
 Subject to; $F_e(N_i) - F_o(N_i) \cong 0$,
 $1 - \beta < 0$,
 $\eta > 0$, $\gamma \leq \Delta \log N_i$ (7)

Fig. 6은 Fig. 2의 절차에 따라 다양한 최적화기법을 사용하여 얻어진 $\Delta \log N_i$ 에 대한 누적밀도함수를 나타낸 것이다. 그림에서 보는 바와 같이 M.M.F.D법 및 S.Q.P법 보다 S.L.P법에 의하여 추정된 누적밀도함수가 시험결과에 가장 잘 일치함을 알 수 있다. 이는 각각의 방법에 의하여 얻어진 상관계수 값들을 정리한 Table 6에서 정량적으로 확인된다. 따라서 식 (6)에서 모수들의 추정시 S.L.P법에 의하여 평가하는 것이 타당하다.

한편, 본 연구에서 제안된 3모수 와이블 $P-S-N$ 선도의 유효성을 검증하기 위하여 Weibull이 제안한 기존의 방법⁽⁸⁾과 비교하였다. Fig. 7은 Weibull 방법⁽⁸⁾과 S.L.P법에 의한 식 (6)의 3모수 와이블 $P-S-N$ 선도를 비교한 것이다. 그림에서 보는 바와 같이 $P=1\%$ 및 $P=50\%$ 에서는 두가지

방법에서 크게 차이가 없지만 $P=99\%$ 에서 기존의 Weibull 방법은 실험값과 매우 벗어남을 보인다. 이의 원인은 단순한 그래픽방법에 의하여 모수가 추정됨으로서 각각 응력단계의 피로수명의 변동성을 정확히 평가되지 않았기 때문이라고 사료된다. 그러나 본 연구에서 제안된 (6)의 $P-S-N$ 선도는 기존의 Weibull 방법⁽⁸⁾과 달리 피로수명자료의

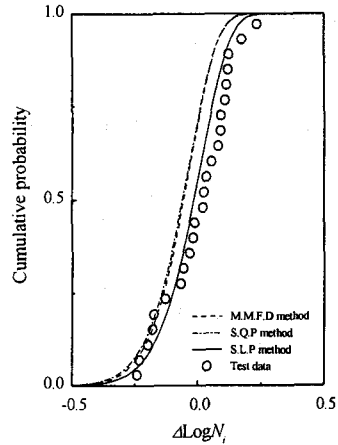


Fig. 6 Comparison of cumulative density functions of $\Delta \log N$ with the optimization techniques

Table 6 A comparison of correlation coefficient obtained by M.M.F.D, S.L.P and S.Q.P methods

	M.M.F.D	S.L.P	S.Q.P
Correlation coefficient	0.9770	0.9810	0.9787

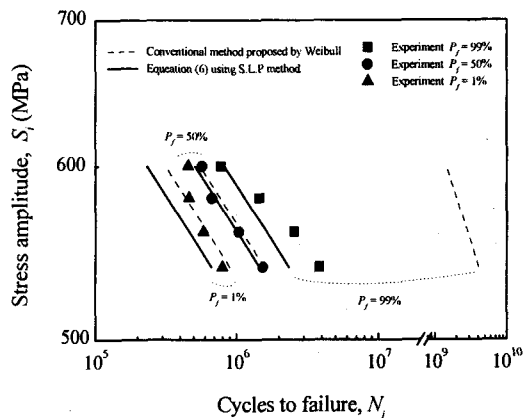


Fig. 7 Comparison of 3-parameter Weibull $P-S-N$ curves obtained by the two method and test results

센소링 과정(censoring process)⁽⁸⁾을 거치지 않으므로 매우 효율적으로 평가될 수 있다. 결론적으로 각각의 응력단계에서 피로수명의 자료들은 본 연구에서 제안한 식 (6)의 3모수 와이불 $P-S-N$ 선도로서 평가되는 것이 합리적이다.

4. 결론

본 연구에서는 저압 증기터빈 최종단 블레이드에서 채취된 시험편으로부터 회전굽힘 피로시험을 수행하고, 피로수명자료로부터 적합한 확률론적 분포를 검토하였다. 이로부터 최적화기법(optimization technique)을 사용하여 $P-S-N$ 선도를 제안하였다. 얻어진 결론은 다음과 같다.

1. 각각의 응력단계에서 피로수명자료로부터 확률론적 특성(correlation coefficient, fatigue physics, tail fit effect)을 평가한 결과, 가장 적합한 분포는 3모수 와이불분포임을 알 수 있었다.

2. 각 응력단계의 피로수명의 변동성을 고려하기 위하여 3모수 와이불 $P-S-N$ 선도의 평가식이 제안되었으며, 이의 식은 다음과 같다.

$$F_e(S_i, N_i) = 1 - \text{EXP} \left[- \left(\frac{\log N_i - \frac{\log S_i - \log A}{B} - \gamma}{\eta} \right)^\beta \right]$$

3. 제안된 3모수 와이불 $P-S-N$ 선도의 평가식에서 세가지 모수들은 다양한 최적화기법을 이용하여 평가되었으며, 이 중에서 S.L.P법에 의하여 평가하는 것이 가장 타당하다.

후 기

본 연구는 한국과학재단 산하 성균관대학교 산업설비 안전성평가 연구센터의 연구비 지원으로 이루어진 것으로서, 이에 관계자 여러분들께 감사드립니다.

참고문헌

- (1) Y.-X. Zhao, Q. Gao, J.-N. Wang, 2000, *Reliability Engineering and System Safety*, Vol. 12, pp.1~7.
- (2) Y.-X. Zhao, Q. Gao, X.-F. Sun, 1998, *Fatigue & Fracture of Engineering Materials & Structures*, Vol.27, pp.781~790.
- (3) R.E. Little, 1977, *Probabilistic Aspect of Fatigue ASTM STP 511*, pp.29~42.
- (4) S. Nishijima, 1987, *Statistical Research on Fatigue and Fracture, The Soc. Mater. Sci.*, pp.1~15.
- (5) Nakazawa. F, Kodama, S., 1987, *Statistical S-N Testing Method with 14 Specimens, JSME Standard Method for Determination of S-N Curves, Statistical Research on Fatigue and Fracture*, Elsevier Science, New York, pp.59~69.
- (6) Jing Ling, Jow Pan, 1997, *Int. J. Fatigue*, Vol.19, pp.415~419.
- (7) Kececioglu, D. B., *Reliability and Life Testing Handbook*, Vol 1, PTR Prentice. pp.395~408.
- (8) W. Weibull, 1961, *Fatigue Testing and Analysis of Results*, Pergamon Press. New York, pp.174~183.
- (9) W. Weibull, "Static Strength and Fatigue Properties of Threaded Bolts," 1955, FFA Rep. 59
- (10) Li, Yong-Ming, 1994, A General Linear - Regression Analysis Applied to the Weibull Distribution, *IEEE Trans. Reliability*, R-43, pp.255~263.
- (11) Rockette, H., Antle, C. E., Klimko, L. A., *J. Am. Statist. Assoc.*, Vol. 69 pp.246~249.
- (12) "Standard Practice for Statistical Analysis of Linear or Linearized Stress-Life(S-N) and Strain-Life (ϵ -N) Fatigue Data," ASTM, Standard E 739-91,
- (13) 김철수, 정화영, 김정규, 2001, 대한기계학회 춘계학술대회논문집 A, pp.262~267.
- (14) Vanderplaats Research & Development, 1999, *DOT-Design Optimization Tools*, VR&D, Inc.
- (15) John R. et al. 1996, *Metals Handbook Ninth Edition Vol.8 Mechanical Testing*, American Society for Metals, pp. 701~706.
- (16) Japan Society of Mechanical Engineers, 1994, *S-N Test Method*, JSME S 002, pp. 8~16.